

پسپردازش برونداد مدل WRF برای پارامتر آب بارش‌شو با استفاده از داده‌های ماهواره‌ای

فرحناز تقی‌وری^{۱*} و مجتبی جلالی^۲

^۱دانشیار گروه فیزیک فضای موسسه ژئوفیزیک دانشگاه تهران، تهران، ایران

^۲دانشجوی دکترا گروه فیزیک فضای موسسه ژئوفیزیک دانشگاه تهران، تهران، ایران

(دریافت: ۱۴۰۰/۰۱/۰۸، پذیرش: ۱۴۰۰/۰۱/۳۰)

چکیده

آب بارش‌شو (Precipitable Water) که بخش مهمی از چرخه آب در جو است، برای شناخت رفتار بخار آب جو و فرایندهای مرتبط، متغیری در خور توجه و بینابین در مطالعات آب‌شناسی و هواشناسی بهشمارمی‌آید. از آنجاکه در مناطقی که ایستگاه جو بالا ندارند، محاسبه این پارامتر WRF به راحتی و بدون استفاده از تجهیزاتی از قبیل GPS، ماهواره و رادار امکان پذیر نیست، هدف از این پژوهش، پسپردازش برونداد مدل عددی (Weather and Research Forecast) برای پارامتر آب بارش‌شو در نقاط بدون ایستگاه جو بالا بر اساس داده‌های ماهواره‌ای است. در ابتدا، آب بارش‌شو چند ایستگاه جو بالا در کشور با پارامتر نظیر آن در ماهواره‌های هواشناسی نسل دوم MSG1(IODC) و ماهواره چینی فنگ یون (FY-2E) در یک دوره دوساله مقایسه شد و داده‌های ماهواره هواشناسی با کمترین جذر میانگین مربع خطأ هدف برای پسپردازش مدل WRF انتخاب شد. پس از آن، پارامتر آب بارش‌شو مدل WRF با پارامتر مستخرج از ماهواره انتخابی METEOSAT8 و رادیوگمانه و با استفاده از الگوریتم ژنتیک و بالایه کالمن پسپردازش شد. با اجرای کردن این رهیافت و همگرایی زیاد مقادیر همبستگی ماهواره منتخب و مدل پسپردازش شده با مقادیر همبستگی رادیوگمانه و مدل تصحیح شده، نتایج نشان داد که با اعمال بالایه کالمن (Kalman filter)، داده‌های ماهواره هواشناسی نسخه ۸ METEOSAT8(IODC) می‌تواند جایگزین داده‌های رادیوگمانه در نقاط بدون ایستگاه جو بالا برای آموزش مدل پیشنهادی جهت پسپردازش پارامتر آب بارش‌شو مدل عددی WRF باشد.

واژه‌های کلیدی: آب بارش‌شو، پسپردازش، مدل عددی WRF، داده ماهواره

۱ مقدمه

از سطح زمین آغاز می‌شود و تا نقطه پایانی بخار آب در جوّ ادامه پیدا می‌کند. مقدار این پارامتر تحت تأثیر عواملی چون چگالی جوّ، دما، پوشش ابر، جهت و سرعت باد، توپوگرافی و ارتفاع و از همه مهم‌تر رطوبت تغییر می‌کند. بر این اساس، پیش‌بینی، پایش تغییرات زمانی و توزیع آب بارش شو کل نیازمند یک شبکه مشاهدات گستردۀ است و اغلب به دلیل نبود چنین شبکه‌ای پیش‌بینی این پارامتر با چالش زیادی همراه است. پیش‌بینی آب بارش شو یکی از مسائل مشترک هواشناسی و آب‌شناسی است. در کشورهایی که با کمبود آب مواجه هستند، مدیریت منابع آب مهم‌ترین اولویت است. یکی از ابزارهای مدیریتی در این زمینه، آگاهی از میزان پارامتر TPW در جوّ است. این کمیت می‌تواند راهگشای بسیاری از مسائل هواشناسی در پیش‌بینی دقیق جوّ، برآورد بارش و رواناب باشد (مباشری و همکاران، ۱۳۸۹). با توجه به نقش کلیدی بخار آب در فرایندهای جوّ و اقلیمی، امروزه از ابزارهای زیادی مانند رادیوگمانه، تابش سنج ریزموچ، فوتومتری خورشیدی و دستگاه‌های GPS زمین‌پایه برای اندازه‌گیری این پارامتر استفاده می‌شود.

مطالعات زیادی در زمینه استفاده از دستگاه‌های GPS، داده‌های ماهواره‌ای و الگوریتم‌هایی برای تخمین این پارامتر انجام شده است که به برخی از آنها در اینجا اشاره می‌شود. بویس در سال ۱۹۹۲، هواشناسی مبتنی بر استفاده از داده‌های سامانه موقعیت جهانی (GPS) را معروفی کرد و روش مؤثری برای برآورد TPW ارائه داد. زنگ (۱۹۹۹) ارتباط میزان بارش، دمای قله ابر و TPW را در مناطق حاره بررسی کرد و با جمع‌آوری داده‌های ایستگاه‌های باران‌سنگی، روشی برای تصحیح ضرایب تناسب معادلات ارتباط دو کمیت TPW و میزان بارش مشاهده شده به دست آورد. یانگ و همکاران (۱۹۹۹) نشان دادند سری زمانی TPW اختیشه از GPS همبستگی خوبی با داده‌های رادیوگمانه دارد، به‌گونه‌ای که می‌توان از TPW برآورده شده با GPS به خوبی در کاربردهای هواشناسی استفاده کرد. هو و همکاران (۲۰۰۰) و دبلاند (۱۹۹۹) با گوارد داده‌های سنگنده SSM/I (Special Sensor Microwave/Imager) بارش سطحی و TPW برای بهبود

در سال‌های اخیر، تقاضای روزافزون برای پیش‌بینی‌های دقیق اقلیمی به رشد و توسعه پیوسته مهارت پیش‌بینی‌های جوّ در مقیاس جهانی و منطقه‌ای منجر شده است. با وجود این پیشرفت‌ها، هنوز چنین پیش‌بینی‌هایی تحت تأثیر شرایط اولیه نامناسب، برآوردهای عددی و ساده‌سازی فرایندهای فیزیکی و شیمیایی حاکم بر تحول جوّ قرار می‌گیرند. این ناقص، تقریب‌ها و ساده‌سازی‌ها سبب ایجاد خطاهای تصادفی و سامانمند مانند خطای اریبی می‌شوند که بر دقت پیش‌بینی تأثیر زیادی می‌گذارد. برای کاهش خطاهای سامانمند، رویکردهای پس‌پردازش و فرایندهای داده‌گواری زیادی پیشنهاد شده است (موناش و همکاران، ۲۰۱۱). پیشرفت‌های اخیر در مدل‌های Numerical Weather Prediction، NWP (مرهون داده‌گواری با استفاده از داده‌ها و مشاهدات ماهواره‌ای و استفاده از روش‌های گوناگون پس‌پردازش مدل‌های عددی) است.

در چند سال گذشته، اهمیت و استفاده از داده‌های ماهواره‌ای برای پیش‌بینی متغیرهای هواشناختی مانند دما، بارش و آب بارش شو افزایش چشمگیری یافته است (ذاکری و همکاران، ۱۳۹۴)، به طوری که در حال حاضر این داده‌ها یکی از منابع اصلی سامانه‌های داده‌گواری در مدل‌های عددی محسوب می‌شوند (امیزکوا، ۲۰۲۰ و بوتیر و کورتیر، ۲۰۰۲). در فرایند داده‌گواری، مشاهدات در مکان و زمان درون‌یابی می‌شوند و ضمن اطمینان از سازگاری با سایر متغیرهای فیزیکی در مدل، مرحله شیوه‌سازی و بهروزرسانی صورت می‌گیرد. این فرایند سبب بهبود شرایط اولیه در پیش‌بینی‌های بعدی می‌شود. در روش‌های پس‌پردازش، داده‌های خام برونداد مدل تصحیح و از شیوه‌های کاهش خطای استفاده می‌شود. یکی از مهم‌ترین اهداف پیش‌بینی عددی هواشناسی میان‌مقیاس (Numerical Weather Prediction, MNWP) آگاهی از مقدار دقیق بارش سنگین است. بخار آب یکی از مهم‌ترین منابع بارش است. آگاهی از میزان آب بارش شو مستلزم آگاهی دقیق از حجم بخار آب در جوّ است. به تمامی بخار آب موجود در ستون جوّ که توان بارش دارد، آب بارش شو کل (Total Precipitation Water, TPW) می‌گویند. این ستون قائم جوّ

کوهستان آرچیپلاگوی یونان پرداختن. در این تحقیق داده‌های مدل‌سازی شده TPW با استفاده از داده‌های سامانه ماهواره‌ای (Global Navigation Satellite System, GNSS) در سه منطقه با توبوگرافی پیچیده در سواحل قاری درستی‌سنگی شد. آن تحقیق بیانگر کارایی زیاد مدل WRF در پیش‌بینی ۴۸ ساعته TPW در مناطق مذکور بود. در پژوهشی دیگر، جیانگ و همکاران (۲۰۱۶) داده‌های آب بارش شو اخذشده از GPS را با داده‌های بازتحلیل جهانی، رادیوگمانه و فوتومتر خورشیدی در چین بررسی کردند. نتایج بیانگر همخوانی مناسب در هر چهار مجموعه داده در ایستگاه‌های انتخابی بود و اختلاف TPW تقریباً در محدوده ۱ تا ۳ میلی‌متر برآورد شد. انصاری و همکاران (۲۰۱۶) پارامتر TPW را با استفاده از GPS در ترکیه پایش و پیش‌بینی کردند. شبکه Turkish Permanent GPS دائمی ترکیه (TPGN)، برای پایش TPW و چند مأموریت (Network, TPGN) دیگر مشغول به فعالیت است. هدف اولیه آن تحقیق به‌دست آوردن داده‌های بلندمدت TPW بود که این داده‌ها را از نوامبر ۲۰۱۴ تا اکتبر ۲۰۱۵ فراهم کرده است. طبق نتایج، همبستگی میانگین مقدار TPW مدل‌سازی شده با تخمین زده در مقایسه با داده‌های مشاهداتی GPS، ۶۷/۱۰ تا ۸۸/۶۰ درصد بود.

همچنین بسیاری از پژوهشگران، آب بارش شو را با استفاده از شبکه جهانی GPS و GNSS برآورد و با مدل‌های هواشناسی ارزیابی کردند؛ برای نمونه کومار و همکاران (۲۰۱۷) اثر بخار آب یکپارچه تخمین زده شده با GPS را بر پیش‌بینی‌های کوتاه‌مدت مدل WRF در یک نقطه در جنوب هند بررسی کردند. آنها دو آزمایش، یکی با استفاده از روش داده‌گواری وردشی چهاربعدی (4D-VAR DA) و دیگری بدون استفاده از آن و بر مبنای مشاهدات مجموع بخار آب طول موسیی زمستان هند (نوامبر و دسامبر ۲۰۱۲) انجام دادند. طبق نتایج آن پژوهش، داده‌گواری با داده‌های GPS، سبب بهبود در برآورد IWV و پیش‌بینی‌ها شد. وانگ و همکاران (۲۰۱۷) آب بارش شو مستخرج از چهار ماهواره هواشناسی و چهار مدل هواشناسی را با پارامتر آب بارش شو تخمین زده شده

تحلیل تصاویر ماهواره GEOS در مطالعات اقلیمی استفاده کردند. همچنین سودراجات و همکاران (۲۰۰۵) TPW مستخرج از داده‌های پروژه مرکز ناسا با عنوان NVAP (NASA Water Vapor Project) و داده مراکز پیش‌بینی محیطی ملی (National Centers for Environmental Prediction) بازتحلیل چهل ساله ERA-40 (European Centre for Medium-Range Weather) مقایسه کردند. نتایج آنها از مقایسه مجموعه داده‌ها شان داد که تنها داده‌های NVAP می‌تواند الگوی خوبی از همگرایی و فرارفت مداری شار رطوبتی در نواحی حاره باشد. باک و همکاران (۲۰۰۵) به درستی‌سنگی مقدار TPW حاصل از خروجی مدل ECMWF با داده‌های رادیوگمانه و GPS پرداختند. برای این مطالعه داده‌های آب بارش شو پیش‌بینی شده مدل ECMWF با مشاهدات بیست و یک ایستگاه گیرنده GPS و چهارده ایستگاه رادیوگمانه در منطقه اروپای مرکزی، برای یک دوره مشاهداتی ویژه اخذ شده است. نتایج نشان داد استفاده از داده‌های GPS در مدل مفید و مناسب است و به کاهش خطای در مقایسه با داده‌های رادیوگمانه منجر می‌شود. شوچی و همکاران (۲۰۰۹) با استفاده از داده شبکه GPS ژاپن که شامل هزار ایستگاه است، کاربردهای هواشناسی گسترهای از جمله آب بارش شو را بررسی کردند.

بخار آب جو که تحت تأثیر فرایندهای جو زمین و اقلیم است، از پارامترهای اصلی کنترل‌کننده اثر گلخانه‌ای است و نقشی اساسی در چرخه انرژی دارد. داده‌های مشاهداتی این پارامتر نسبت به دیگر پارامترهای هواشناختی کافی نیست. بر این اساس وی و همکاران (۲۰۱۰) TPW مدل بازتحلیل NCEP/DOE را با داده‌های مشاهداتی جهانی GPS در یک ده مقایسه و بررسی کردند. نتایج آن پژوهش بیانگر همبستگی خوب بین داده‌های مدل با داده‌های شبکه جهانی GPS بود. کمپمنی و همکاران (۲۰۱۰) مقادیر TPW حاصل از رادیوگمانه و ابزار فوتومتری خورشیدی را با هم مقایسه کردند. نتایج بیانگر ضریب همبستگی بیش از ۰/۸ بین هر سه مقایسه بود. در مطالعه‌ای، گونزالس و همکاران (۲۰۱۳) به درستی‌سنگی پارامتر TPW مستخرج از مدل WRF برای

در ایران نیز مطالعاتی درباره برآورد آب بارش شو با داده‌های ماهواره، رادار و GPS انجام شده است که به برخی از آنها اشاره می‌شود. مبادری و همکاران (۱۳۸۹) برآورده از آب بارش شو را با استفاده از تصاویر ماهواره‌ای مودیس و داده‌های رادیوگمانه در ناحیه تهران ارائه دادند. نتایج تحقیق آنها نشان داد نوارهای ۱۸ و ۱۹ سنجنده مودیس برای استخراج این پارامتر در شرایط جوی ایستگاه مهرآباد مناسب هستند. محمدیها و همکاران (۱۳۹۳) به کمک داده‌های رادار تهران، پیش‌بینی‌های مدل WRF برای آب بارش شو و ارتباط آن را با برآورد بارش بررسی کردند. نتایج نشان داد اگر مقدار آب بارش شوی اندازه‌گیری شده با رادار از ۰/۱ میلیمتر بیشتر باشد، بارش در آن منطقه آغاز می‌شود. رستم‌زاده و همکاران (۱۳۹۸) در مطالعه‌ای با استفاده از داده‌های ماهواره‌ای متواتر به ارزیابی و تحلیل نقش خصوصیات فیزیکی ابر در مقدار بارش محتمل در منطقه غرب ایران پرداختند. نتایج نشان می‌داد در بین مؤلفه‌های خصوصیات فیزیکی ابر، بیشترین اثربخشی را مؤلفه نوع ابر دارد. خانیانی و همکاران (۲۰۱۷) با استفاده از روش داده‌گواری وردشی چهاربعدی، تأثیر مقادیر تخمینی آب بارش شو شبکه GPS دائمی ایران را بر پیش‌بینی مدل عددی WRF در منطقه شمال ایران بررسی کردند. نتایج، بیانگر بهبود پیش‌بینی و کاهش خطای مقادیر آب بارش شو در مدل بود. رئیس‌پور (۱۳۹۹) داده‌های ماهواره‌ای بخار آب بارش شو را با استفاده از داده‌های سنجنده AIRS طی بازه زمانی هفده ساله (۲۰۰۳–۲۰۱۹) بررسی کردند. نتایج نشان داد تفاوت‌های زمانی و مکانی چشمگیری در مقدار بخار آب بارش شو در ایران وجود دارد.

با توجه به تغییرپذیری مکانی-زمانی گسترده مقادیر آب بارش شو، کاملاً مشخص است که داده‌های رادیوگمانه به علت پوشش کم نمی‌تواند معرف مناسبی برای مقادیر این پارامتر در هر منطقه باشد. علاوه بر این، در مواردی حسگرهای رادیوگمانه بیخ می‌زند و به خطای در برآورد رطوبت یا ایجاد تأخیر فاز بین زمان اندازه‌گیری دمای تر و خشک منجر می‌شود. از آنجاکه در مناطق بدون ایستگاه جوی بالا محاسبه پارامتر آب بارش شو به راحتی و بدون استفاده از تجهیزاتی از قبیل GPS، ماهواره و رادار امکان‌پذیر نیست، هدف از این پژوهش، پسپردازش

از GPS ارزیابی کردند. یافته‌های کلیدی آنها این بود که همه مدل‌های هواشناسی، اربی مثبت در آب بارش شو فصلی دارند. WRF و همکاران (۲۰۱۸) با استفاده از داده‌گواری داده‌های با ماهواره و رادار دریافتند که داده‌گواری آب بارش شو تأثیر زیادی بر دقت پیش‌بینی توفان دارد. همچنین ستو و همکاران (۲۰۱۸) رابطه بین توزیع بارش، باد زمینی و آب بارش شو را هنگام بارش‌های سیل‌آسا در فصل تابستان توکیو بررسی کردند. آنها به این نتیجه رسیدند که با پایش تغییرات زمانی و توزیع این پارامترها و با استفاده از یک شبکه مشاهدات متراکم می‌توان بارش‌های سنگین را سریع و دقیق پیش‌بینی کرد. اویگاوا و همکاران (۲۰۱۸) آب بارش شو مشاهده شده با یک شبکه گیرنده بسیار متراکم سامانه ماهواره‌ای ناوبری جهانی را با استفاده از مدل غیرهیدرواستاتیک و با کمک پالایه کالمون Nonhydrostatic Model (NHM-LETKF) - Local Ensemble Transform Kalman Filter داده‌گواری و داده‌های حاصل از این شبکه را در اطراف شهر اوجی کیوتولی ژاپن، با مبانگین فاصله ۱/۷ کیلومتری ایستگاه و با دقت زیاد بررسی کردند. پژogrدن و همکاران (۲۰۱۸) مدل WRF در پیش‌بینی بخار آب بارش شو را که ابزاری کاملاً کاربردی است، برای بهینه‌سازی مشاهدات فروسرخ در رصدخانه نجومی روکودلوس موجاوس (ORM) یونان درستی‌سنجی کردند. برای اعتبارسنجی مدل، آنها از داده‌های مشاهداتی GNSS واقع در این رصدخانه استفاده کردند. نتایج، بیانگر همبستگی خوب بین پیش‌بینی‌های مدل و مشاهدات، با ضریب همبستگی ۰/۹۵۱ و ۰/۹۰۴ به ترتیب برای سری زمانی پیش‌بینی شده ۲۴ ساعته و ۴۸ ساعته بود. فراگکوس و همکاران (۲۰۱۹) آب بارش شو اخذ شده از سه ابزار رادیوگمانه، تابش‌سنج ریزموچ و فوتومتر خورشیدی را در منطقه جنوب شرق اروپا ارزیابی کردند. نتایج، وجود چرخه ثابت مقادیر آب بارش شو را علی‌رغم تفاوت در آهنگ نمونه‌برداری نشان می‌داد. مغربی و همکاران (۲۰۲۰) با استفاده از داده‌های رادیوگمانه و داده GPS در یک شبکه GNSE، مدل‌سازی و درستی‌سنجی آب بارش شو را در نقاط مرکزی شبه‌جزیره عربستان در یک دوره زمانی ده‌ساله بررسی کردند و خطای اربی کمتر از ۲ میلیمتر به دست آوردند.

شتاب گرانی g چگالی هوا و ρ_a چگالی بخار آب، ρ_w که برای نسبت آمیختگی بخار آب برحسب کیلوگرم بر کیلوگرم استفاده شده است. پارامتر آب بارش شو w در سطح فشار است که با جاگذاری روابط (۲) و (۳) در kg/m^3 برحسب رابطه (۱) و با استفاده از رابطه (۴) می‌توان آن را با داده‌های رادیوگمانه تعیین کرد (ریکچا و سینگ، ۲۰۰۹). آب بارش شو با داده‌های رطوبت در سه لایه فشاری زیر محاسبه می‌شود:

الف) از سطح زمین تا تراز ۸۵۰ هکتوپاسکال؛

ب) از تراز ۸۵۰ هکتوپاسکال تا تراز ۵۰۰ هکتوپاسکال؛

ج) از تراز ۵۰۰ هکتوپاسکال به بالای جو.

در عمل، انگرال‌گیری قائم بر اساس لایه‌های فشاری موجود با رابطه (۵) انجام می‌شود:

$$LPWi = \frac{1}{g} \sum q(p) \Delta p \quad (5)$$

$$TPW = LPW1 + LPW2 + LPW3 \quad (6)$$

که پارامتر $LPWi$ مقدار آب بارش شو در یک لایه خاص z و $q(p)$ میانگین رطوبت در لایه تعیف شده با اختلاف فشار Δp است. جمع‌بندی روی سطوح فشاری مربوطه برای مقدار آب بارش شو در هر لایه انجام می‌شود و پارامتر آب بارش شو کل (TPW) از مجموع مقدار آب بارش شو سه لایه ۱، ۲ و ۳ طبق رابطه (۶) بدست می‌آید. (کوئینگ و دوکانینگ، ۲۰۰۹).

۲-۲ داده‌های ماهواره‌ای

در این تحقیق از داده‌های دو ماهواره زمین‌آهنگ هواشناسی چینی (FENGYUN FY-2E) و ماهواره هواشناسی اروپایی METEOSAT8(IODC) استفاده شده است. محصول آب بارش شو ماهواره FY-2E از وبگاه مرکز ملی ماهواره‌های هواشناسی چین و محصول آب بارش شو در ماهواره هواشناسی اروپایی از سری داده‌های شاخص ناپایداری جهانی (Global Instability Index) GII روزانه تعداد ۹۶ محصول از آن (هر ۱۵ دقیقه یکبار) از پایگاه The European Organization for the EUMETSAT Exploitation of Meteorological Satellites) سازمان هواشناسی ایران دریافت می‌شود. ماهواره اروپایی

برونداد مدل عددی WRF در پارامتر آب بارش شو در نقاط بدون ایستگاه جو بالا با داده‌های ماهواره‌ای و استفاده از پالایه کالمن برای کاهش خطای سامانمند این پارامتر است.

۲ داده‌ها

داده‌های مورد استفاده در این پژوهش عبارت‌اند از: داده‌های رادیوگمانه؛ داده‌های ماهواره‌ای؛ داده‌های برونداد مدل WRF. در این بخش درباره هریک به تفصیل توضیح داده می‌شود.

۱-۲ داده‌های رادیوگمانه

در این مطالعه از داده‌های آب بارش شو اخذ شده از رادیوگمانه ایستگاه‌های جو بالای فرودگاه مهرآباد و فرودگاه هاشمی‌ژاد مشهد استفاده شده است. ایستگاه مهرآباد در محوطه ایستگاه همدیدی فرودگاهی تهران (OIII) و در طول جغرافیایی ۵۱°۱۹' درجه، عرض جغرافیایی ۳۵°۴۱' درجه و ارتفاع ۱۱۹۱ متر از سطح دریا واقع شده است. ایستگاه هاشمی‌ژاد در محوطه ایستگاه همدیدی فرودگاهی مشهد (OIMM) و در طول جغرافیایی ۵۹°۳۷' درجه، عرض جغرافیایی ۳۵°۱۴' درجه و ارتفاع ۹۹۵ متر از سطح دریا قرار دارد. اصلی‌ترین پارامترهایی که با رادیوگمانه در ایستگاه‌های جو بالا اندازه گیری می‌شوند عبارت‌اند از: دما؛ رطوبت؛ سمت و سرعت باد. باقی پارامترهای رادیوگمانه بر اساس چهار پارامتر فوق محاسبه می‌شوند. آب بارش شو نیز یکی از پارامترهای استنتاجی از داده‌های رادیوگمانه است که با فرمولی برحسب رطوبت جو به صورت زیر بدست می‌آید. اگر ارتفاع عنصر جزئی در ستون هوا با سطح مقطع یک سانتی‌متر مربع باشد، میزان آب بارش شو (w) در این ستون هوا بین دو ارتفاع z و $z+dz$ به صورت زیر محاسبه می‌شود:

$$w = \int_z^{z+dz} \rho_w dz \quad (1)$$

$$dz = -\frac{dp}{g\rho_a} \quad w = -\int_{p_2}^{p_1} \frac{dp}{g\rho_a} \rho_w \quad (2)$$

$$q = \frac{\rho_w}{\rho_a} = \frac{0.622 e_s}{p - 0.387 e_s} \cong \frac{0.622 e_s}{p} \quad (3)$$

$$w = -\frac{1}{g} \int_{p_2}^{p_1} \frac{0.622 e_s}{p} dp = \frac{1}{g} 0.622 e_s \int_{p_1}^{p_2} \frac{dp}{p} = \frac{0.622 e_s}{g} \ln \frac{p_2}{p_1} \quad (4)$$

ماهواره مدار قطبی آن است. مشخصات دما و رطوبت از ابزار Infrared Atmospheric Sounding (IASI) به صورت مداری به دست می‌آیند. این نیمرخ‌های قائم مشتق شده به عنوان ورودی اولیه برای بازیابی GII در جایی استفاده می‌شوند که تکوین زمانی خواص توده هوا بتواند با مشاهدات ماهواره ثابت ثبت شود. بنگاهی به کانال‌های فروسرخ موجود در سنجنده MSG-SEVIRI می‌توان دید که چنین اطلاعاتی با کانال‌های ۶/۲ میکرومتر و ۷/۳ میکرومتر را این می‌شود (دو کانال بخار آب که اطلاعاتی را درباره سطح رطوبت زیاد و متوسط مشخص می‌کنند)، کانال‌های با مرکز ۸/۷ میکرومتر، ۱۰/۸ میکرومتر و ۱۲ میکرومتر به رطوبت سطح کم و دمای سطح حساس هستند. کانال با مرکز ۱۳/۴ میکرومتر تحت تأثیر دمای هوای سطح قرار دارد. بازیابی GII از این شش کانال سنجنده MSG مربوط به دو کانال بخار آب WV6.2 و WV7.3 و چهار کانال فروسرخ IR8.7، IR10.8، IR12.0 و IR13.4 در یک باصطلاح طرح بازیابی فیزیکی استفاده می‌کند. محاسبات انتقال تابش برای یافتن ترکیبی از دمای پوست، دمای هوا و مشخصات رطوبت که سازگاری بیشتری با مشاهدات موجود در این شش کانال دارد، از اولین مشخصات حدس شروع می‌شود که برای GII پیش‌بینی عملیاتی جهانی ECMWF است. شرح مفصلی از طرح بازیابی را می‌توان در کوینگ و دو کوینگ (۲۰۰۹) یافت. هدف اصلی این الگوریتم بازیابی پارامتر آب بارش شو است. رویکرد الگوریتم انتخابی بازیابی آماری-فیزیکی است که اطلاعات قبلی و اندازه‌گیری‌ها در یک روش آماری بهینه با یک مدل انتقال تابش فیزیکی برای ارتباط شاخص‌های جوّ با اندازه‌گیری‌ها ترکیب می‌شوند. به اطلاعات پیشین هم نیاز است؛ زیرا اطلاعات موجود در تابش‌های مشاهده شده به طور کامل برای تعیین نیمرُخ‌های جوّ کافی نیست. در فرایند پردازش GII، هنگامی که تابش‌های شبیه‌سازی با مقادیر مشاهده شده در یک آستانه از قبل معین مطابقت داشته باشند، این کمینه‌سازی به دست می‌آید. با این روش به طور مؤثر نیمرُخ قائم دمای هوا و رطوبت از تابش‌های مشاهده شده در مجموعه‌ای از کانال‌های داده شده و داده‌های نیمرُخ جوّ (معمولًاً پیش‌بینی شده) فراهم می‌شود. سپس

METEOSAT8 جزء ماهواره‌های نسل دوم EUMETSAT و از نوع ماهواره‌های زمین‌آهنگ و متعلق به است و در مدار زمین‌آهنگ دور زمین می‌چرخد. این ماهواره در ارتفاع ۳۵۷۸۶ کیلومتری بالای خط استوا و در عرض جغرافیایی ۴۱/۵ E قرار دارد و اروپا، آفریقا، اقیانوس هند و ایران را پوشش می‌دهد. توان آن ۶۰۰ وات و وزن آن ۲۰۴۰ کیلوگرم است و از ۱۵ سپتامبر ۲۰۱۵ عملیاتی شده است. ماهواره چینی FY-2E از نوع ماهواره‌های زمین‌آهنگ و متعلق به مرکز ماهواره هواشناسی سازمان هواشناسی چین (NSMC) است که در ارتفاع ۳۵۷۸۶ کیلومتری بالای خط استوا و عرض جغرافیایی شرقی ۸۶/۵ E قرار دارد و منطقه آسیا و ایران را نیز پوشش می‌دهد. توان آن ۳۰۰ وات و وزن آن ۱۳۸۰ کیلوگرم است و از اول ژوئن ۲۰۱۵ عملیاتی شده است. توان تفکیک این ماهواره ۱/۲۵ کیلومتر است.

۳-۲ بازیابی پارامتر آب بارش شو از ماهواره‌های زمین‌آهنگ هواشناسی

مرکز اروپایی ماهواره‌های هواشناسی EUMETSAT بر اساس Spinning Enhanced MSG-SEVIRI مشاهدات سنجنده (Visible and InfraRed Image) محصولات شاخص ناپایداری جهانی (GII) را تولید می‌کند. این شاخص یک پارامتر توده هوایی است که شرایط پایداری جوّ صاف و بدون ابر را نشان می‌دهد. محصول GII شامل تعدادی از کمیت‌های مشخص کننده ناپایداری مانند شاخص صعود (Lifted TPW)، شاخص ناپایداری K و آب بارش شو کل (Index) است که در اصل از داده‌های رادیوگمانه به دست می‌آیند. بر حسب انگرال قائم رطوبت در ستون جوّ بازیابی می‌شود. سودمندی این محصول در شناسایی مناطق مستعد توفان‌های همرفتی شدید و وضع هوای خطرناک مرتبط ثابت شده است. در بازیابی GII مبتنی بر MSG در حال حاضر از نیمرخ قائم حاصل از ECMWF برای اولین حدس یا نیمرخ قائم زمینه استفاده می‌شود. مرکز اروپایی ماهواره‌های هواشناسی EUMETSAT در حال بررسی امکان دست‌یابی به اطلاعات مربوط به دما و رطوبت اولیه بر اساس ترکیبی از اندازه‌گیری‌های دستگاه تداخل سنج فروسرخ (IASI) سوار بر

خاصی از زمینه را حفظ خواهد کرد. اعتبارسنجی بر اساس محصول GII از MSG-SEVIRI نشان داده است که این عمل، پذیرفتی است (کوئینگ و کائینیگ، ۲۰۰۹). معادله (۷) مسئله را با روش تکرار حل می‌کند. اگر اختلاف دمای درخشندگی مشاهده شده و شبیه‌سازی شده کوچک باشد، فرایند تکرار متوقف می‌شود. علاوه‌براین، معادله (۷) نشان می‌دهد بازیابی فیزیکی به مدلی برای محاسبات پیشرو و جاکوبی تابش نیاز دارد؛ یعنی مدل باید بتواند دمای درخشندگی در کانال‌های MSG مورد نظر را برای یک نمایه مشتقات جزئی دمای درخشندگی باعث تغییر دمای درخشندگی شبیه‌سازی شده به دلیل تغییر در مشخصات قائم X در سطح Ω یا همان جاکوبی K در این معادله می‌شود. مدل (Radiative Transfer for TOVS) RTTOV ارائه EUMETSAT NWP-SAF دارد. در مدل RTTOV از مجموعه‌ای از سطوح فشاری ثابت بین سطح زمین و بام جو (برای مثال با فاصله $1/10$ هکتوپاسکال) استفاده می‌شود، به‌طوری که مشخصات اطلاعات در انتهای این شبکه قائم در دسترس خواهد کرد. در این مرور، شرایط آسمان صاف می‌توان استفاده کرد. در این مرور، مجموعه کامل اطلاعات مربوط به کانال MSG-SEVIRI بررسی می‌شود و مدل (۷) نیم‌رُخ دما و رطوبت می‌تواند با بازیابی تغییر کند. شرایط مرزی زیرین مربوط به دمای سطح زمین است و ممکن است با بازیابی نیز تغییر کند.

تمام پارامترهای ناپایداری و توده هوا را می‌توان از اطلاعات نیم‌رُخ نهایی استخراج کرد. مطابق جدول ۱، داده‌های ماهواره‌ای استفاده شده در تصحیح خطای سامانمند مدل پیش‌بینی WRF شامل داده‌های دمای درخشندگی قله ابر (BRTMP)، شار موج بلند و رودی سطحی، دما در تراز دو متر از سطح زمین، ارتفاع ژئوپتانسیلی تراز هم دمای صفر درجه سلسیوس، ارتفاع ژئوپتانسیلی قله ابر، فشار متوسط سطح دریا، آب بارش شو و رطوبت ویژه ارتفاع دو متر از سطح دریا است.

۴-۲ داده‌های مستقیم برونداد مدل WRF

برای استخراج این داده‌ها، ابتدا داده‌های خام پیش‌بینی مدل

پارامترهای توده هوا از نیم‌رُخ‌های منتج حاصل می‌شود. بازیابی فیزیکی که برآورده بهینه با استفاده از یک روش وارون‌سازی است، تلاش می‌کند مشخصات جوی ای را پیدا کند که بهترین مشاهدات را باز تولید می‌کند. به‌طور کلی، این یک معادله با چند جواب است که برای آن از $A_{n+1} = S_x^{-1} \cdot K_a^T \cdot S_e^{-1} \cdot K_n$ به عنوان یک قید استفاده می‌شود. این نیم‌رُخ زمینه که اغلب در طرح واره تکرار، مقدار اولیه برای به دست آوردن جواب است، A حدس اولیه $=$ نام دارد. حدس اولیه به آرامی و کنترل شده تغییر می‌کند تا خواص تابشی آن به مشاهدات ماهواره‌ای نزدیک شود. حدس اولیه نوعی پیش‌بینی کوتاه‌مدت است. در نیم‌رُخ نهایی میدان تابشی شبیه‌سازی شده در بالای جو، با مشاهدات ماهواره مطابقت دارد یا اختلاف آنها کمینه است. هسته بازیابی و گام تنظیم نیم‌رُخ با معادله (۷) تعریف می‌شود (کوئینگ و دو کائینیگ، ۲۰۰۹):

$$(7)$$

$$x_{n+1} = x_0 + (S_x^{-1} + K_a^T \cdot S_e^{-1} \cdot K_n)^{-1} \times K_a^T \cdot S_e^{-1} [T_B - T_{B,n} + K_n \cdot (x_n - x_0)]$$

X : بردار حالت (مشخصات جوی، همراه با شرایط مرزی زیرین)؛

n : گام تکرار ($n=0$ نشان‌دهنده نیم‌رُخ زمینه است)؛

T_B : دمای درخشندگی مشاهده شده؛

$T_{B,n}$: دمای درخشندگی شبیه‌سازی شده برای نیم‌رُخ گام تکرار

n

S_x : خطای ماتریس کوواریانس زمینه؛

K_n : ماتریس جاکوبی در گام تکرار n ؛

S_e : ماتریس کوواریانس خطای دمای درخشندگی مشاهده شده و مدل تابش.

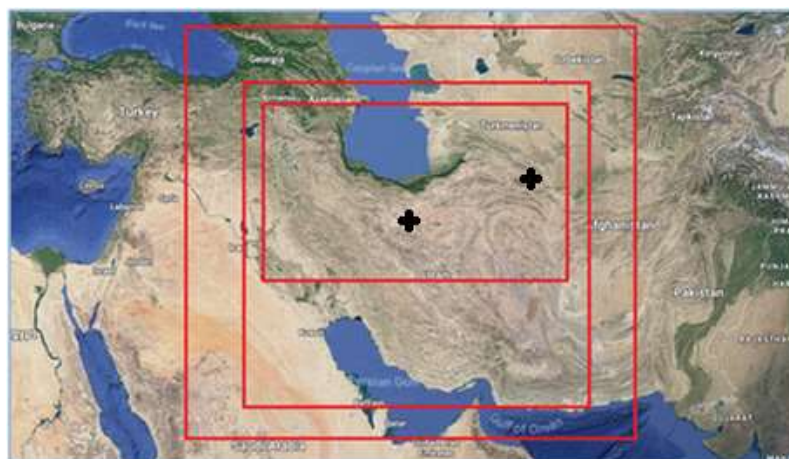
پردازش کامل GII تنها برای شرایط بدون ابر امکان‌پذیر است. یکی از مهم‌ترین فرضیه‌های فرایند این است که بازیابی نیم‌رُخ‌ها خیلی متفاوت از نیم‌رُخ زمینه (پیش‌بینی) نیست. محتوا ای اطلاعات طیفی کانال‌های فروسرخ (IR) ماهواره MSG قطعاً به اندازه کافی زیاد نیست که بتوان یک نیم‌رُخ مستقل قائم از جو نتیجه گرفت؛ برای مثال در ماهواره MSG حل‌های بسیاری برای معادله (۷) وجود دارد. استفاده SEVIRI از پیش‌بینی برای میدان زمینه، جواب را به نزدیک‌ترین پیش‌بینی مقید می‌کند. این یعنی جواب نهایی ویژگی‌های

کوچک زمانی برای مدهای آکوستیک و امواج گرانی استفاده می‌کند. در این مطالعه برای اجرای مدل WRF سه حوزه درنظر گرفته شد که تفکیک افقی حوزه مادر، ۲۷ کیلومتر و تفکیک افقی حوزه‌های آشیانه ۹ و ۳ کیلومتر هستند. این حوزه‌ها در شکل ۱ نمایش داده شده‌اند. در بررسی‌ها از حوزه سوم بهره برد شد. اجرای مدل به صورت روزانه و برای ساعت UTC ۰۰ بود. پیش‌بینی برای ۷۲ ساعت آینده تولید و از داده‌های NCEP برای شرایط مرزی و جانبی در مدل استفاده شد. تفکیک افقی این داده‌ها ۰/۵ درجه و برای هر سه ساعت در دسترس است. داده‌های مدل WRF از تاریخ اول ژانویه ۲۰۱۷ تا یازدهم اوت ۲۰۱۸ از بانک داده سازمان هواشناسی کشور استخراج شد.

GFS از پایگاه داده NCEP دریافت و با طرح واره فیزیکی در مدل WRF مدل‌سازی می‌شوند. در نهایت، پارامتر آب (Unified Post Processor) UPP با جعبه ابزار (WRF يك مدل عددی میان مقیاس برای پیش‌بینی وضع هوا است. این مدل سامانه‌ای با توانایی فراوان است که می‌توان وضعیت‌های مختلف جوّ را با استفاده از آن شبیه‌سازی کرد. مدل WRF برای طیف وسیعی از کاربری‌ها و برای مقیاس‌هایی از چند متر تا چند هزار کیلومتر مناسب است. این مدل غیرهیدرواستاتیک است. شبکه‌بندی مدل، شبکه آرکاوای-C است و در آن از طرح واره‌های انتگرال گیری مرتبه دوم و سوم زمانی رونگک-کوتا و طرح واره‌های مرتبه دو تا شش برای فرارفت در دو راستای افقی و قائم استفاده می‌شود. این مدل از گام‌های

جدول ۱. نوع داده‌های ماهواره‌ای استفاده شده در تصحیح خطای سامانمند مدل پیش‌بینی WRF (برگفته از وبگاه EUMETSAT).

پارامتر	توضیح
BRTMP toa	دمای درخشندگی قله جوّ
DLWRFsfC	شار موج بلند ورودی سطح بر حسب وات بر متر مربع
DPT2m	دمای نقطه شنبنم در تراز ۲ متر بر حسب کلوین
HGT0deg	ارتفاع ژئوپتانسیلی تراز هم‌دمای صفر درجه سلسیوس
HGThtf	ارتفاع ژئوپتانسیلی قله ابر
MSLET msl	فشار میانگین سطح تراز دریا در مدل اینتا بر حسب پاسکال
PWATclm	ستون آب بارش شو جوّی بر حسب کیلوگرم بر متر مربع
SPFH2m	رطوبت و پیزه سطح زمین در ارتفاع ۲ متری



شکل ۱. سه حوزه تودرتوی ۱۳۳ با تفکیک افقی ۳۰۰۰:۹۰۰:۲۷۰۰ متر برای اجرای مدل WRF. تفکیک افقی حوزه مادر، ۲۷ کیلومتر و تفکیک افقی حوزه‌های آشیانه، ۹ و ۳ کیلومتر فرض شده است.

متفاوت پس پردازش انجام شده است (موناش و همکاران، ۲۰۱۱؛ گالانیس و همکاران، ۲۰۰۶ و گالانیس و آندرانیستاکیس، ۲۰۰۲). از میان روش‌های گوناگون پس پردازش داده‌ها برای استفاده از برونداد مدل، می‌توان به روش آماری برونداد مدل MOS (Model Output Perfect PPM (Statistics)، روش پیش‌یابی کامل MOC (Prognosis Method و روش واسنجش برونداد مدل Model Output Calibration) اشاره کرد (آزادی و همکاران، ۱۳۸۷). با وجود توانایی‌های این روش‌ها به دلیل نیاز به تعداد زیادی متغیر، استفاده عملیاتی از آنها مشکل به نظر می‌رسد. محدودیت اصلی این روش‌ها لزوم دسترسی به داده‌های بلندمدت است که همیشه در دسترس نیست. روش‌های دیگری در سال‌های اخیر توسعه یافته‌اند که می‌توان با استفاده از آنها برونداد مدل را بدون نیاز به داده‌های بلندمدت تصحیح کرد. از آن جمله می‌توان به روش‌های پالایه کالمن (موناجی، ۲۰۱۱؛ گالانیس و همکاران، ۲۰۰۶؛ هاملید، ۱۹۹۵ کالمن و باسی، ۱۹۶۱؛ کالمن ۱۹۶۰)، شبکه عصی مصنوعی (مرزبان، ۲۰۰۳)، میانگین متحرک (مکولو و استال، ۲۰۰۸) و روش‌های پیزی (جلمن و همکاران، ۲۰۱۳) اشاره کرد. بوگدانوس و همکاران (۲۰۲۱) الگوریتم‌های پیش‌یابی را بر اساس پیش‌یابی خطای دما با استفاده از پالایه کالمن برای توسعه سامانه مدیریت معرفی کردند. مطالعاتی نیز در این باره در ایران انجام شده است که می‌توان به پژوهش‌آزادی و همکاران (۱۳۸۷) اشاره کرد که برونداد مدل میان‌مقیاس MM5 را برای دمای پیش‌یابی و کمینه با استفاده از پالایه کالمن پس پردازش کردند. نتایج، نشان‌دهنده برتری پیش‌یابی‌های پس پردازش برونداد خام مدل را نشان می‌داد. برای روزهایی که خطای مدل زیاد یا متوسط بود، پالایه کالمن توانست پیش‌یابی مدل را تا حدی پذیرفتی اصلاح کند. آزادی و عربلی (۱۳۸۸) پیش‌یابی‌های رسمی و پیش‌یابی‌های مدل WRF را بعد از پس پردازش برای دمای پیش‌یابی و کمینه روزانه در ایستگاه‌های همدیدی مراکز استان‌ها مقایسه کردند. نتایج نشان داد پیش‌یابی‌های پالایده بر پیش‌یابی‌های رسمی برتری دارند و استفاده از پس پردازش برونداد خام مدل ضروری است. در

۴-۲ داده‌های مستقیم برونداد مدل WRF

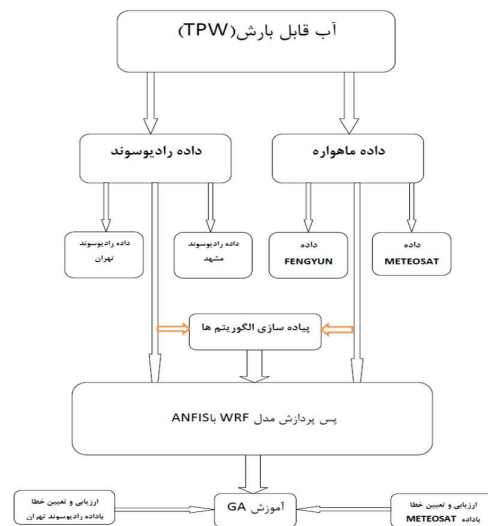
برای استخراج این داده‌ها، ابتدا داده‌های خام پیش‌یابی مدل GFS از پایگاه داده NCEP دریافت و با طرح واره فیزیکی در مدل WRF مدل‌سازی می‌شوند. در نهایت، پارامتر آب (Unified Post Processor) UPP با جعبه ابزار WRF یک مدل عددی از این مدل اخذ می‌شود. مدل پیشرفت WRF برای طیف وسیعی میان‌مقیاس برای پیش‌یابی وضع هوا است. این مدل سامانه‌ای با توانایی فراوان است که می‌توان وضعیت‌های مختلف جوّ را با استفاده از آن شبیه‌سازی کرد. مدل WRF برای طیف وسیعی از کاربری‌ها و برای مقیاس‌هایی از چند متر تا چند هزار کیلومتر مناسب است. این مدل غیرهیدرواستاتیک است. شبکه‌بندی مدل، شبکه آرکاوای-C است و در آن از طرح واره‌های انگرال‌گیری مرتبه دوم و سوم زمانی رونگ-کوتا و طرح واره‌های مرتبه دو تا شش برای فرارفت در دو راستای افقی و قائم استفاده می‌شود. این مدل از گام‌های کوچک زمانی برای مدهای آکوستیک و امواج گرانی استفاده می‌کند. در این مطالعه برای اجرای مدل WRF سه حوزه درنظر گرفته شد که تفکیک افقی حوزه مادر، ۲۷ کیلومتر و تفکیک افقی حوزه‌های آشیانه ۹ و ۳ کیلومتر هستند. این حوزه‌ها در شکل ۱ نمایش داده‌اند. در بررسی‌ها از حوزه سوم بهره برده شد. اجرای مدل به صورت روزانه و برای ساعت ۰۰ UTC بود. پیش‌یابی برای ۷۲ ساعت آینده تولید و از داده‌های NCEP برای شرایط مرزی و جانی در مدل استفاده شد. تفکیک افقی این داده‌ها ۰/۵ درجه و برای هر سه ساعت در دسترس است. داده‌های مدل WRF از تاریخ اول ژانویه ۲۰۱۷ تا یازدهم اوت ۲۰۱۸ از بانک داده سازمان هواشناسی کشور استخراج شد.

۳ روش تحقیق

با توجه به خطاهای برونداد خام مدل، برونداد مستقیم مدل را نمی‌توان به صورت خام در اختیار کاربران قرار داد؛ بنابراین باید پس پردازش آن پیش از ارائه و استفاده صورت گیرد. پس پردازش برونداد خام مدل‌های مورد استفاده در پیش‌یابی عددی وضع هوا از گام‌های اصلی و ضروری فرایند پیش‌یابی عملیاتی است. مطالعات بسیاری درباره استفاده از روش‌های

از ماهواره‌های هواشناسی موجود طی چند سال گذشته مقایسه شد. پس از چند مرحله درستی سنجی، مقادیر آب بارش شو محصولات ماهواره‌های هواشناسی پیشنهادی متواتر و فنگ-بیون با مقادیر محاسبه شده در ایستگاه‌های جوّ بالای شهید هاشمی نژاد مشهد و مهرآباد تهران انتخاب شد. شایان ذکر است ملاک انتخاب بهترین ماهواره بر اساس جذر میانگین مربع خطای کمتر بود و در نتیجه، از ماهواره هواشناسی با کمترین جذر میانگین مربع خطای، به عنوان داده مرجع برای پس‌پردازش آب بارش شو مدل WRF استفاده شد. تصحیح خطای سامانمند مدل پیش‌بینی WRF با استفاده از داده‌های ماهواره مذکور و الگوریتم ژنتیک و کاربست پالایه کالمون انجام شد. برای درستی سنجی رهیافت داده‌های ماهواره هواشناسی و رادیوگمانه به ترتیب با آموزش داده‌های ماهواره هواشناسی و رادیوگمانه مذکور و مقادیر پارامتر آب بارش شو ماهواره MSG1(IODC) و مقادیر محسوب شده در ایستگاه رادیوگمانه مهرآباد مقایسه شد. پالایه کالمون بر داده‌های ماهواره اصلاح شده با الگوریتم ژنتیک اعمال شد. روش کار به صورت نمودار گردشی برنامه پس‌پردازش پارامتر آب بارش شو با استفاده از داده‌های رادیوگمانه و ماهواره در شکل ۲ نشان داده شده است. در ادامه، به طور مختصر روش الگوریتم ژنتیک و پالایه کالمون شرح داده می‌شود.

مطالعه‌ای دیگر، آزادی و همکاران (۱۳۹۱) نشان دادند استفاده از روش شبکه‌های عصبی مصنوعی برای پس‌پردازش برونداد خام و سپس واسنجی اعضای سامانه همادی قبل از ترکیب اعضا می‌تواند پیش‌بینی احتمالاتی دقیق‌تری تولید کند. بایانیان و همکاران (۱۳۹۱) پس‌پردازش برونداد مدل دینامیکی MRI-CGCM3 را برای پیش‌بینی فصلی بارش استان خراسان رضوی بررسی کردند. نتایج پژوهش آنها نشان می‌داد که مدل توانسته است بارش‌های فصل پائیز را به خوبی پیش‌بینی کند. مرادی و مرتضی پور (۱۳۹۵) پس‌پردازش برونداد مدل WRF را به روش میانگین لغزان برای دما، دمای نقطه شبنم، دمای بیشینه و دمای کمینه در ایستگاه هواشناسی فرودگاه رشت درستی سنجی کردند. نتایج در تمام موارد بهبود را نشان می‌داد. تقوی و همکاران (۱۴۰۱) تاثیر داده گواری به عنوان ابزار پس‌پردازش بین برونداد مدل WRF و مشاهدات دمای ایستگاه مهرآباد تهران را با استفاده از سه روش پالایه کالمون، شبکه عصبی و تبدیل فوریه مورد ارزیابی قرار دادند. نتایج، تاثیر مثبت کاربرد پس‌پردازش را با استفاده از مشاهدات ایستگاه مهرآباد از لحظه مقدار دما را نشان می‌دهد. هدف این تحقیق، بررسی روش‌های متفاوت پس‌پردازش WRF به منظور بهبود پیش‌بینی مدل برای پارامتر آب بارش شو است. ابتدا آب بارش شو اخذ شده از داده‌های رادیوگمانه در چند ایستگاه جوّ بالای کشور با پارامتر نظری آن



شکل ۲. نمودار گردشی برنامه جهت پس‌پردازش پارامتر آب بارش شو با استفاده از داده‌های رادیوگمانه و ماهواره.

است. معادله‌های سیستم و دیده‌بانی که به ترتیب نشان‌دهنده تحول زمانی بردار حالت و ارتباط بردار حالت با دیده‌بانی متناظر است، به صورت زیر نوشته می‌شوند (گالانیس و همکاران، ۲۰۰۶):

$$x'(t_{i+1}) = M_i[x'(t_i)] + \eta(t_i) \quad (8)$$

$$y_i^o = H_i[x'(t_i)] + \varepsilon_i \quad (9)$$

ماتریس‌های M_i (عملگر معادله سیستم) و H_i (عملگر معادله دیده‌بانی) باید قبل از اعمال پالایه تعیین شوند (گالانیس و همکاران، ۲۰۰۶). در این روش بردار حالت نامعلوم x بر مبنای همه مقادیر دیده‌بانی تا زمان t_i برآورد می‌شود. در گام اول، بردار حالت x و ماتریس کوواریانس خطای آن یعنی ماتریس η بر اساس مقادیر تحلیلی در گام زمانی t_{i-1} با معادلات پیش‌بینی محاسبه می‌شوند:

$$x^f(t_i) = M_{i-1}[x^a(t_i)] \quad (10)$$

$$p^f(t_i) = M_{i-1}p^a(t_{i-1})M_{i-1}^T + Q(t_{i-1}) \quad (11)$$

که ماتریس Q ، ماتریس کوواریانس خطای فرایند ($\eta(t_i)$ است. در گام بعدی، وقتی دیده‌بانی جدید در زمان t_i یعنی y_i^o انجام شود، می‌توان برآورد جدید بردار حالت یعنی $x^a(t_i)$ را با ترکیب اطلاعات قبلی با معادلات تصحیح کننده زیر به روز کرد:

$$x^a(t_i) = x^f(t_i) + K_i(y_i^o - H_i[x^f(t_i)]) \quad (12)$$

$$p^a(t_i) = (I - K_i H_i)p^f(t_i) \quad (13)$$

که ماتریس بهره کالمن (K_i) با رابطه زیر محاسبه می‌شود:

$$K_i = p^f(t_i)H_i^T[H_i p^f(t_i)H_i^T + R_i]^{-1} \quad (14)$$

ماتریس R_i ، ماتریس کوواریانس خطای اندازه‌گیری (ε_i) و $p^a(t_i)$ کوواریانس خطای ($x^a(t_i)$ در زمان t_i است. بهره کالمن تنظیم کننده چگونگی سازگاری پالایه با شرایط جدید و ممکن است. از معادلات (۸) تا (۱۴) برای بهروزرسانی الگوریتم کالمن از زمان t_{i-1} به t_i استفاده می‌شود. در این روش، تعیین ($\eta(t_i)$ و ε_i) از اهمیت ویژه‌ای برخوردار است و مقدار آنها می‌تواند خروجی را بهشدت تحت تأثیر قرار دهد. این موضوع که بعد از تغییرات زیاد در داده‌های ورودی، پالایه کالمن با چه سرعانی با وضعیت جدید انطباق پیدا کند، به نسبت

۱-۳ الگوریتم ژنتیک

الگوریتم ژنتیک بخشی از نظریه محاسبه تکاملی است. این نظریه در حال حاضر بخشی از هوش مصنوعی است که به سرعت در حال رشد است. الگوریتم ژنتیک ابزاری است که ماشین با آن می‌تواند سازوکار انتخاب طبیعی را شبیه‌سازی کند. این عمل با جستجو در فضای مسئله برای یافتن جواب برتر و نه لزوماً بهینه صورت می‌پذیرد. الگوریتم‌های ژنتیک اغلب گرینه خوبی برای روش‌های پیش‌بینی بر مبنای وایازش هستند. الگوریتم ژنتیک که الگوریتم محاسباتی بهینه‌سازی است، با درنظر گرفتن مجموعه‌ای از نقاط فضای جواب در هر تکرار محاسباتی، نواحی مختلف فضای جواب را به نحو مؤثری جستجو می‌کند. در سازوکار جستجو، مقدار تابع هدف تمام فضای جواب محاسبه نمی‌شود، ولی مقدار محاسبه شده تابع هدف برای هر نقطه، در متوسط‌گیری آماری تابع هدف در کلیه زیرفضاهایی دخالت داده می‌شود که آن نقطه به آنها وابسته بوده است. این زیرفضاهای بطور موازی از نظر تابع هدف متوسط‌گیری آماری می‌شوند. این سازوکار را توازنی ضمنی می‌گویند.

۲-۳ پالایه کالمن

پالایه‌های کالمن بر اساس سامانه‌های خطی پویاگسسته در بازه زمانی هستند و معمولاً برآورد دقیق‌تری نسبت به برآورد بر اساس یک اندازه‌گیری واحد بر مبنای استنباط بیزی (جلمن و همکاران، ۲۰۱۳) دارند و تخمین توزیع احتمال مشترکی از یک متغیر تصادفی را در یک مقطع زمانی ارائه می‌کنند. این پالایه از نام رودولف کالمن، یکی از پایه‌گذاران این نظریه گرفته شده است. یک پالایه هنگامی بازگشتی است که تنها برآورد حالت قبل و مشاهده فعلی برای برآورد حالت فعلی لازم باشد. برای مطالعه بیشتر پالایه کالمن به کالمن (۱۹۶۰)، هوملید (۱۹۹۵)، گالانیس و آندرانیستاکیس (۲۰۰۲)، گالانیس و همکاران (۲۰۰۶) و آزادی و همکاران (۱۳۸۷) مراجعه شود. هدف اصلی این پالایه، شبیه‌سازی یک فرایند نامعلوم (بردار حالت) با زمان $x'(t_i)$ است که مقدار معلوم آن در زمان t_i در این مقاله با y_i^o مشخص شده است. y_i^o نیز بردار دیده‌بانی در همان زمان t_i

برای محاسبه امتیاز مهارتی میانگین خطای مطلق (MAESS) از رابطه (۱۸) استفاده می‌شود که در آن MAE_{DMO} میانگین خطای مطلق برونداد مدل قبل از پردازش و MAE_{pp} میانگین خطای مطلق مدل پس از پردازش است:

$$MAE \text{ skill score} = 1 - \frac{MAE_{pp}}{MAE_{DMO}} \quad (18)$$

همان‌گونه که در نمودار گردشی شکل ۲ نشان داده شده است، برای پس‌پردازش پارامتر آب بارش‌شو مدل WRF از الگوریتم ژنتیک (GA) استفاده شده است. مجموعه داده‌های بکار گرفته در این پس‌پردازش، عبارتند از داده‌های ماهواره زمین‌ایستای نسل دوم METEOSAT8 و داده‌های رادیوگمانه در فرودگاه مهرآباد تهران طی بازه زمانی اول فوریه ۲۰۱۷ تا یازده اوت ۲۰۱۸ است. از کل نمونه‌های مجموعه، تعداد ۵۱۳ داده برای داده آموزش و ۱۷۱ داده برای داده آزمون استفاده شده است. در این روش برونداد مدل پس از سه بار اجرای روش ژنتیک به حالت پذیرفتی رسید. نتایج روی این مجموعه داده در قالب نمودار در ادامه آورده شده است. ودر هر اجرا میزان خطاهای نیز بیان شده است. در ادامه، پالایه کالمن بر داده‌های ماهواره اصلاح شده با الگوریتم ژنتیک اعمال شد و برای بررسی پارامترهای کمی روش پیشنهادی بکار گرفته شد.

۴ نتایج و تحلیل داده‌ها

در این بخش، ابتدا مقادیر آب بارش‌شو دو ماهواره اروپایی METEOSAT و ماهواره چینی FENGYUN با مقادیر آب بارش‌شو محاسبه شده در ایستگاه‌های جوّ بالای هاشمی‌نژاد مشهد و مهرآباد تهران مقایسه می‌شوند.

در این پژوهش ابتدا پارامتر R^2 از دو ماهواره زمین‌ایستای اروپایی METEOSAT و ماهواره چینی FY-2E استخراج و با آب بارش‌شو محاسبه شده در دو ایستگاه جوّ بالای کشور مقایسه شد. در جدول ۲ ضرایب همبستگی مقایسه دو ماهواره زمین‌ایستای مذکور با دو ایستگاه جوّ بالای شهید هاشمی‌نژاد مشهد و مهرآباد تهران آمده است. با توجه به مقایسه داده‌های دوساله آب بارش‌شو از دو ماهواره زمین‌ایستای هواشناسی و دو

$\eta(t_i)$ بستگی دارد. انتخاب درست این مقادیر باعث پایداری نتایج می‌شود و داده‌های اندازه‌گیری شده با خطای زیاد در یک روز، خطای بزرگی در خروجی ایجاد نمی‌کنند (آزادی و همکاران، ۱۳۸۷).

۳-۳ سنجه‌های آماری مورد استفاده برای

درستی‌سنجدی

درستی‌سنجدی یک پیش‌بینی، فرایندی است که کیفیت پیش‌بینی را تعیین می‌کند. در این فرایند، پیش‌بینی با دیده‌بانی متناظر که واقعاً اتفاق افتاده است یا خیر مقایسه می‌شود. برای ارزیابی و درستی‌سنجدی پیش‌بینی‌ها، از شاخص‌ها و کمیت‌های درستی‌سنجدی گوناگونی استفاده می‌شود. پارامترهایی که در این تحقیق استفاده شده‌اند عبارت‌اند از: میانگین خطای (ME) (رابطه ۱۵)، میانگین خطای مطلق (MAE) پیش‌بینی (رابطه ۱۶)، جذر میانگین مربع خطای (RMSE) (رابطه ۱۷)، امتیاز مهارتی میانگین خطای مطلق (MAESS) (رابطه ۱۸). در این روابط، O_i مقدار پیش‌بینی متغیر مورد نظر، F_i مقدار مشاهده متناظر با آن و N تعداد داده‌ها است. میانگین خطای (ME) نمی‌تواند بزرگی و اندازه خطاهای را اندازه‌گیری کند، همچنین مشخص کند. به‌نظری رسد بهترین حالت مقدار میانگین خطای پیش‌بینی برابر صفر باشد، اما واقعاً این‌گونه نیست؛ چه سا مقادیر پیش‌بینی خطای زیادی داشته باشند، ولی تفاضل مقدار مشاهدات از آنها، گاهی مثبت و گاهی منفی شود و در نتیجه، مقدار میانگین خطای پیش‌بینی صفر یا نزدیک به صفر شود. شاخص میانگین خطای مطلق (MAE) نسبت به میانگین خطای برتری دارد. در اینجا با درنظرگرفتن قدر مطلق تفاضل مقادیر مشاهداتی و پیش‌بینی، این عیب برطرف شده است و از صفر شدن میانگین خطای مطلق جلوگیری می‌شود.

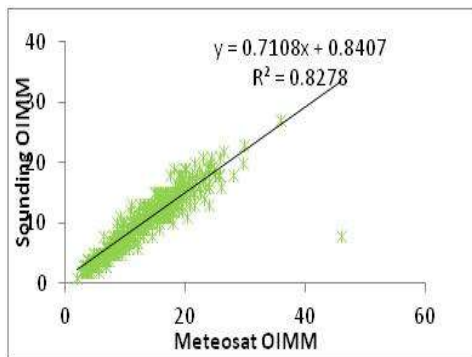
$$ME = \text{mean error} = \frac{1}{N} \sum_{i=1}^N (F_i - O_i) \quad (15)$$

$$MAE = \frac{1}{N} \sum_{i=1}^N |F_i - O_i| \quad (16)$$

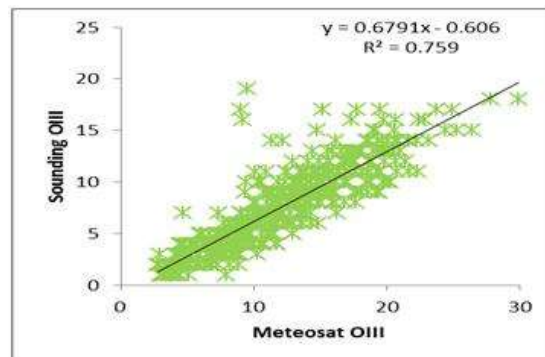
$$RMSE = \left[\frac{1}{N} \sum_{i=1}^N (F_i - O_i)^2 \right]^{1/2} \quad (17)$$

و مهرآباد تهران دارد. از آنجاکه در روزهای ابری، ماهواره‌های زمین‌ایستا نمی‌توانند مقادیر آب بارش شو را بازیابی کنند؛ لذا در این مقایسه، روزهای ابری حذف شده‌اند.

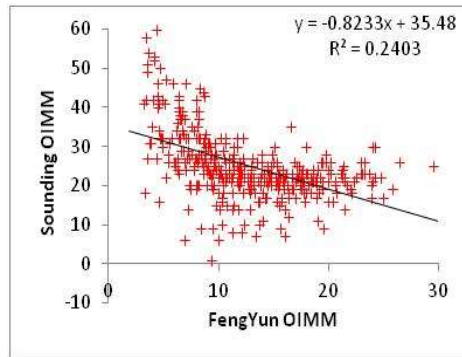
ایستگاه رادیوگمانه کشور، همبستگی بسیار خوبی بین داده‌های ماهواره اروپایی METEOSAT و مقادیر آب بارش شو محاسبه شده در ایستگاه‌های جوّ بالا وجود دارد، اما داده‌های ماهواره چینی FY-2E همبستگی کمی با داده‌های رادیوگمانه فرودگاه‌های شهید هاشمی‌نژاد مشهد



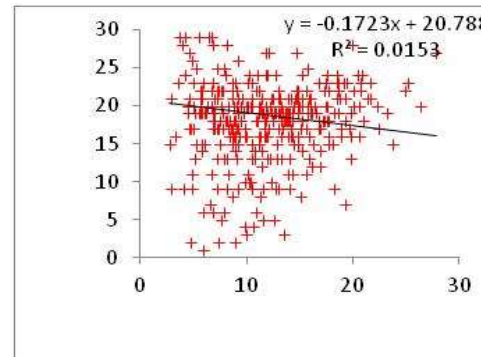
شکل ۴. مقایسه پارامتر آب بارش شو ماهواره METEOSAT و رادیوگمانه فرودگاه شهید هاشمی‌نژاد مشهد.



شکل ۳. مقایسه پارامتر آب بارش شو ماهواره METEOSAT و رادیوگمانه فرودگاه مهرآباد تهران.



شکل ۶. مقایسه پارامتر آب بارش شو ماهواره FY-2E و رادیوگمانه فرودگاه شهید هاشمی‌نژاد مشهد.



شکل ۵. مقایسه پارامتر آب بارش شو ماهواره FY-2E و رادیوگمانه فرودگاه شهید هاشمی‌نژاد مشهد.

جدول ۲. مقایسه ضرایب همبستگی داده‌های ماهواره‌های منتخب با داده‌های واقعی رادیوگمانه.

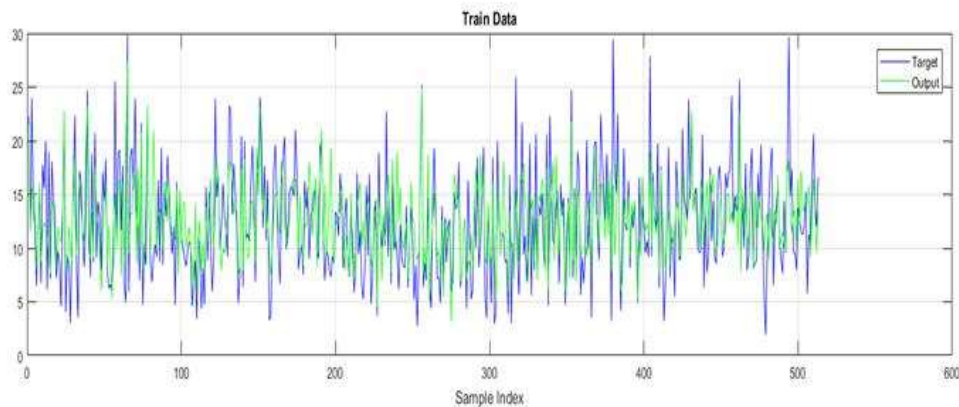
R ²	فرودگاه مهرآباد تهران	فرودگاه شهید هاشمی‌نژاد مشهد
MSG1(IODC)	.۰/۷۵۹	.۰/۸۲۸۷
FY-2E	.۰/۱۵۳	.۰/۲۴۰۳

آموزش مدل مذکور استفاده کرد. برای بهینه‌سازی با روش پیشنهادی، ابتدا از داده‌های رادیوگمانه تهران و در گام بعد، از داده‌های ماهواره زمین‌ایستای نسل دوم

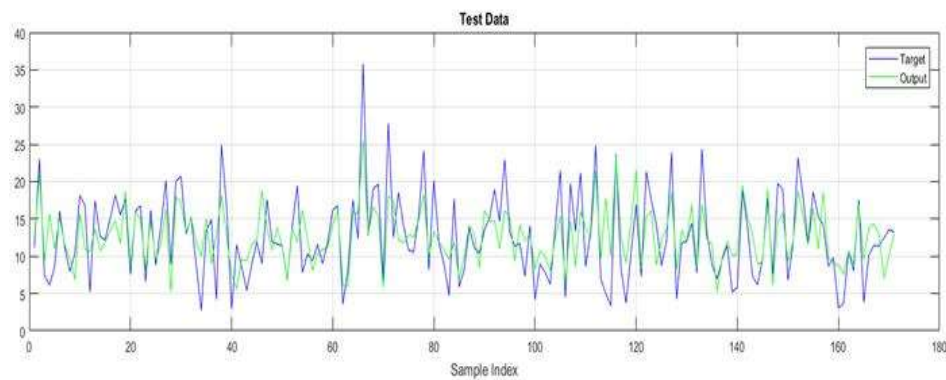
همان طور که مشاهده می‌شود، بیشترین ضرایب همبستگی متعلق به ماهواره METEOSAT است؛ بنابراین از پارامتر آب بارش شو مستخرج از این ماهواره می‌توان برای داده‌های

نگاشت برای آموزش استفاده شد. نمودارهای حاصل از اجرای مرحله سوم شبیه‌سازی با روش پیشنهادی در شکل‌های ۷ تا ۱۰ آورده شده است.

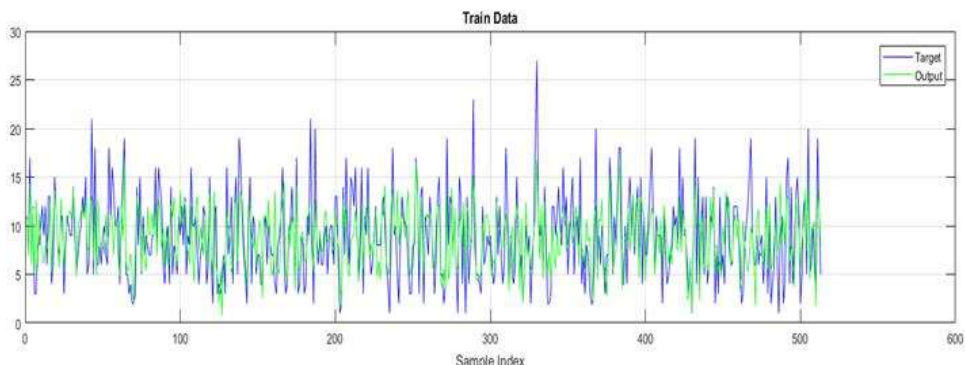
METEOSAT8 در نقطه طول و عرض جغرافیایی فرودگاه مهرآباد تهران استفاده شد. در مرحله سوم اجرا با استفاده از الگوریتم ژنتیک، از میان ۶۸۵ نگاشت داده موجود، ۵۱۳



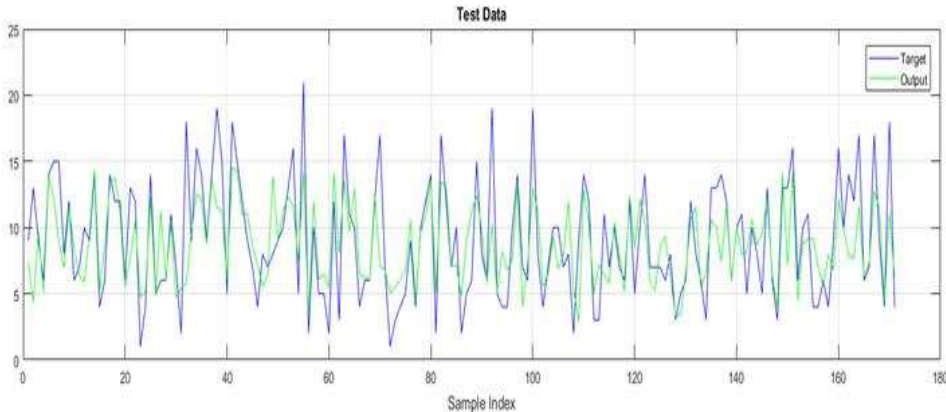
شکل ۷. نمودار خروجی (رنگ سبز) و نمودار هدف (رنگ آبی) در اجرای سوم الگوریتم ژنتیک برای داده آموزش رادیوگمانه مهرآباد تهران.



شکل ۸ نمودار خروجی (رنگ سبز) و نمودار هدف (رنگ آبی) در اجرای سوم الگوریتم ژنتیک برای داده آزمون رادیوگمانه مهرآباد تهران.



شکل ۹. نمودار خروجی (رنگ سبز) و نمودار هدف (رنگ آبی) در اجرای سوم الگوریتم ژنتیک برای داده آموزش ماهواره METEOSAT



شکل ۱۰. نمودار خروجی (رنگ سبز) و نمودار هدف (رنگ آبی) در اجرای سوم الگوریتم ژنتیک برای داده آزمون ماهواره METEOSAT.

وروودی و محور قائم نشان دهنده بازه پذیرفتی داده ها است. در ادامه، مقادیر آب بارش شو پیش بینی مدل عددی WRF در دو ایستگاه فرودگاهی مهرآباد تهران و شهید هاشمی نژاد مشهد در ساعت 00 UTC برای حدود دو سال استخراج و با استفاده از الگوریتم ژنتیک و مقادیر آب بارش شو ایستگاه های رادیو گمانه و ماهواره مذکور پس پردازش شد. نتایج پس پردازش پیش بینی مدل عددی WRF با سه بار اجرای الگوریتم ژنتیک به ترتیب با استفاده از داده های ماهواره METEOSAT و رادیو گمانه فرودگاه مهرآباد تهران در جدول ۳ آمده است.

در توضیح روند اجرای الگوریتم پیشنهادی ژنتیک (GA) باید گفت در نمودارهای شاخص نمونه (Sample Index) دو نوع خروجی وجود دارد:

- ۱) خروجی هدف (رنگ آبی) که نشان دهنده مقدار بازه هدف بر اساس داده های ورودی است و می تواند داده آموزش با تعداد ۵۱۳ نگاشت یا داده آزمون با تعداد ۱۷۱ نگاشت باشد؛
 - ۲) خروجی با رنگ سبز که نشان دهنده مقدار بازه برای داده های آزمون و آموزش است.
- خروجی دوم در برخی نواحی از بازه بالاتر یا پایین تر است که بیانگر وجود خطأ در مقدار داده های ورودی برای شبیه سازی است. محور افقی در این نمودارها نشان دهنده تعداد داده های

جدول ۳. مقایسه مقادیر آزمون پس پردازش داده ماهواره METEOSAT و رادیو گمانه مهرآباد تهران در سه اجرای الگوریتم ژنتیک.

		Bias	RMSE	Error Mean	Error STD	R ²
اجرای اول	METEOSAT8	11/4861	3.3891	0.46416	3.367	0.6381
	Sounding	16/828	4.09	0.72831	4.0364	0.622
اجرای دوم	METEOSAT8	12/2349	3.4964	-0.31357	3.4926	0.6699
	Sounding	17.9041	4.2313	-0.17041	4.2403	0.6633
اجرای سوم	METEOSAT8	9.9129	3.1485	0.33684	3.1396	0.7172
	Sounding	14.7629	3.8423	0.020123	3.8535	0.7496

همبستگی به دست آمده از مقایسه داده های پس پردازش شده و داده های واقعی ماهواره زمین ایستای 8 METEOSAT و ضرایب به دست آمده از مقایسه با داده های رادیو گمانه به

با مقایسه مقادیر آزمون پس پردازش داده ماهواره METEOSAT و رادیو گمانه مهرآباد تهران در سه اجرای الگوریتم ژنتیک در جدول ۳ می توان فهمید که ضرایب

۱/۱ کاهش یافت. علاوه بر این، مقادیر RMSE مدل به مقدار ۰/۱۰۸ کاهش و ضریب همبستگی به مقدار ۰/۹۸۷۶ افزایش یافت (جدول ۴).

یکدیگر نزدیک هستند.

در ادامه، پالایه کالمن بر داده‌های ماهواره اصلاح شده با الگوریتم ژنتیک اعمال شد که به بهبود نتایج منجر شد و ضریب همبستگی به مقدار ۰/۷۸۷۶ افزایش و RMSE به مقدار

جدول ۴. مقایسه مقادیر خطا و همبستگی مقدار آب بارش شو مدل WRF با داده ماهواره METEOSAT با اعمال الگوریتم ژنتیک، پالایه کالمن و داده رادیوگمانه در استگاه مهرآباد تهران.

روش	RMSE	R ²
مدل WRF	0/108	0.9876
داده رادیوگمانه	3/8423	0.6381
داده ماهواره با الگوریتم ژنتیک	3.1485	0.622
داده ماهواره با الگوریتم ژنتیک و اعمال پالایه کالمن	1.10	0.7876

ماهواره منتخب و رادیوگمانه در اجرای سوم به ترتیب برابر با ۰/۷۱۷۷ و ۰/۷۴۷۶ به دست آمد (جدول ۳). این موضوع نشان می‌دهد علاوه بر نزدیکی ضریب همبستگی داده‌های دو ابزار ماهواره و رادیوگمانه، همبستگی از ۰/۷ نیز بیشتر است که حکایت از دقت عمل پذیرفتی پسپردازش مدل WRF با الگوریتم ژنتیک دارد. در ادامه، پالایه کالمن بر داده‌های ماهواره اصلاح شده با الگوریتم ژنتیک اعمال شد که نتایج بهبود یافت به طوری که ضریب همبستگی به مقدار ۰/۷۸۷ افزایش و خطای RMSE به مقدار ۱/۱ کاهش یافت. نتایج یانگر این است که داده‌های ماهواره هواشناسی پیشنهادی در راستای پسپردازش پارامتر آب بارش شو مدل عددی WRF باشد. در آینده می‌توان این پژوهش را برای اهدافی شامل پسپردازش سایر پارامترهای مدل عددی WRF، تعمیم به سایر مناطق و سایر مدل‌های پیش‌بینی و استفاده از داده‌های سایر ماهواره‌ها بهویژه ماهواره‌های نسل سوم با توان تفکیک بیشتر گسترش داد.

منابع

آزادی، م.، جعفری، س.، میرزائی، آ.، عربی، پ.، ۱۳۸۷، پسپردازش برون‌داد مدل میان‌مقیاس MM5 برای

۵ نتیجه‌گیری

هدف از این پژوهش، پسپردازش پارامتر آب بارش شو پیش‌بینی مدل عددی WRF است. از آنجاکه در مناطق بدون استگاه جو بالا محاسبه این پارامتر به راحتی و بدون استفاده از تجهیزاتی از قبیل GPS، ماهواره و رادار انجام‌پذیر نیست، در این تحقیق برای از بین بردن خطای سامانمند پارامتر آب بارش شو پیش‌بینی مدل عددی WRF در نقاط بدون استگاه جو بالا از داده‌های ماهواره زمین ایستایی هواشناسی استفاده شد. برای ارزیابی این نکته که آیا ایده مذکور کاربردی است یا خیر، ابتدا آب بارش شو چند استگاه جو بالا در کشور با پارامتر نظیر آن در ماهواره‌های (IODC) و FY-2E و MSG1(IODC) موجود طی حدود دو سال مقایسه و داده‌های ماهواره هواشناسی با کمترین جذر میانگین مربع خطای به عنوان مقادیر هدف برای پسپردازش مدل WRF انتخاب شد. مطابق جدول ۲، ماهواره MSG1(IODC) با ضریب همبستگی R² برابر با ۰/۷۵۹، برای استگاه مهرآباد و ۰/۸۲۷۸ برای استگاه هاشمی‌نژاد مشهد به عنوان ماهواره مرجع انتخاب شد. در ادامه، پارامتر آب بارش شو مدل WRF با پارامتر مستخرج از ماهواره انتخابی METEOSAT8 و رادیوگمانه و با استفاده از الگوریتم ژنتیک پسپرداز شد. در انتهای اجرای کردن این رهیافت برای استگاه جو بالای تهران و همگرایی زیاد مقادیر همبستگی ماهواره منتخب و مدل پسپرداز شده به مقادیر همبستگی رادیوگمانه و مدل تصحیح شده، ضریب همبستگی R² برای

- آب و خاک ایران، ۱۰(۵۱)، ۲۵۴۳-۲۵۵۷.
- تقوی، ف.، کوثری، م.، جلالی، م.، ۱۴۰۱، مقایسه روش‌های پس پردازش برونداد مدل WRF برای دمای روزانه در ایستگاه مهرآباد تهران، نشریه پژوهش‌های اقلیم‌شناسی، سال سیزدهم، شماره ۵۰، تابستان ۱۴۰۱، ۱۰۷-۱۲۰.
- مبادری، م.، پورباقرکردی، م.، فرج زاده اصل، م.، صادقی نائینی، ع.، ۱۳۸۹، برآورد آب قابل بارش کلی با استفاده از تصاویر ماهواره‌ای MODIS و داده‌های رادیوساوند: ناحیه تهران: فصلنامه مدرس علوم انسانی، ۱۴(۱)، ۱۰۷-۱۲۶.
- محمدیها، ا.، معماریان، م.ح.، آزادی، م.، ریحانی پروری، م.، ۱۳۹۳، پیش‌بینی‌های مدل WRF برای آب بارش شو و ارتباط آن با برآورد بارش به کمک داده‌های رadar تهران: مجله ژئوفیزیک ایران، ۸(۳)، ۱۳-۱.
- مرادی، م.، مرتضی پور، س.، ۱۳۹۸، پس پردازش برونداد مدل WRF به روش میانگین لغزان برای دما، دمای نقطه شنبم، دمای بیشینه و دمای کمینه در ایستگاه هواشناسی فرودگاه رشت: نشریه هواشناسی و علوم جو، ۲(۳)، ۲۰۱-۲۱۳.
- Amezcuia, J., 2020, ECMWF/NCEO data assimilation training course, (Partial) list of references, http://www.met.reading.ac.uk/~darc/training/ecmwf_collaborative_training/References.pdf
- Ansari, K., Althuwaynee, O. F., and Corumluoglu, O., 2016, Monitoring and prediction of precipitable water vapor using GPS data in Turkey: Journal of Applied Geodesy, 10(4), 233-245.
- Bevis, M., S. Businger, T.A. Herring, C. Rocken, R.A. Anthes and R.H. Ware (1992). GPS meteorology: remote sensing of the atmospheric water vapor using the global positioning system, Journal of Geophysical Research, 97 (D14), 15787-15801
- Bock, O., Flamant, C., Richard, E., Keil, C., and Bouin, M. N., 2005, Validation of precipitable water from ECMWF model analyses with دمای بیشینه و کمینه با استفاده از فیلتر کالمن: مجله فیزیک زمین و فضا، ۳۴(۱)، ۴۵-۶۱.
- آزادی، م.، شیر غلامی، م.، حجام، س.، صحراخیان، ف.، ۱۳۹۰، پس پردازش برونداد مدل WRF برای بارندگی روزانه در ایران: تحقیقات منابع آب ایران، ۷(۳)، ۷۱-۸۱.
- آزادی، م.، عربلی، پ.، ۱۳۸۸، مقایسه پیش‌بینی‌های رسمی و پیش‌بینی‌های مدل WRF برای دمای بیشینه و کمینه روزانه در ایستگاه‌های همدیدی مرکز استان‌ها: هشتمین همایش پیش‌بینی عددی وضع هوای تهران، ایران.
- آزادی، م.، واشانی، س.، حجام، س.، پیش‌بینی احتمالاتی بارش با استفاده از پس پردازش (post processing) برونداد یک سامانه همادی: مجله فیزیک زمین و فضا، ۳۸، ۲۰۳-۲۱۶.
- باباییان، ا.، کریمیان، م.، مدیریان، ر.، ۱۳۹۱، پس پردازش برونداد مدل دینامیکی CGCM3-MRI برای پیش‌بینی فصلی بارش استان خراسان رضوی: مجله ژئوفیزیک ایران، ۷(۳)، ۱۱۹-۱۳۳.
- ذاکری، ز.، آزادی، م.، قادر، س.، ۱۳۹۴، بررسی اثرداده‌گواری داده‌های ماهواره وایستگاه‌های دیدهبانی بر روی پیش‌بینی مدل WRF: نشریه پژوهش‌های اقلیم‌شناسی، دوره ۶، شماره ۲۱، ۳۱-۴۲.
- رستم زاده، م.، رسولی، ع.، وظیفه دوست، م.، ملکی، ن.، ۱۳۹۸، ارزیابی و تحلیل نقش خصوصیات فیزیکی ابر در مقدار بارش محتمل با استفاده از داده‌های ماهواره‌ای MSG، منطقه مورد مطالعه: غرب ایران: نشریه علمی جغرافیا و برنامه‌ریزی، ۲۴(۷۲)، ۲۲۵-۲۴۵.
- رئیس پور، ک.، ۱۳۹۹، برآورد ماهواره‌ای بخار آب قابل بارش PWV در جو ایران و تحلیل همبستگی مکانی آن با فراستج‌های آب و هواشناختی: مجله تحقیقات

- GPS and radiosonde data during the MAP SOP: Quarterly Journal of the Royal Meteorological Society, **612**, 3013-3036.
- Bogdanovs, N., Belinskis, R., Bistrovs, V., Petersons, E., and Ipatova, A., 2021, Forecasting algorithm based on temperature error prediction using Kalman filter for management system development: Latvian Journal of Physics and Technical Sciences, **58**(5), 38-49.
- Bouttier, F., and Courtier, P., 2002, Data Assimilation Concepts and Methods: ECMWF publication, <https://www.ecmwf.int/en/elibrary/16928>.
- Campmany, E., Bech, J., Rodríguez-Marcos, J., Sola, Y., and Lorente, J., 2010, A comparison of total precipitable water measurements from radiosonde and sunphotometers: Atmospheric Research, **97**(3), 385–392.
- Deblonde, G., 1999, Variational assimilation of SSM/I total precipitable water retrievals in the CMC analysis system: Monthly Weather Review, **127**(7), 1458-1476.
- Fragkos, K., Antonescu, B., Ene, D., et al., 2019, Assessment of the total precipitable water from a sun photometer, microwave radiometer and radiosondes at a continental site in southeastern Europe: Atmospheric Measurement Techniques, **12**(3), 1979–1997, <https://doi.org/10.5194/amt-12-1979-2019>.
- Galanis, G., and Anadranistikis, M., 2002, A one-dimensional Kalman filter for the correction of near surface temperature forecasts: Meteorological Applications, **9**, 437-441.
- Galanis, G., Louka, P., Katsafados, P., Kallos, G., and Pytharoulis, I., 2006, Applications of Kalman filter based on non-linear functions to numerical weather predictions: Annals of Geophysics, **24**, 2451-2460.
- Gelb, A., 1974, Applied optimal estimation, MIT Press printed in USA.
- Glahn, H. R., and Lowry, D. A., 1972, The use of Model Output Statistics (MOS) in objective weather forecast. J. Appl. Meteorol., **11**, 1203-1211
- González, A., Expósito, F. J., Pérez, J. C., Díaz, J. P., and Taima, D., 2013, Verification of precipitable water vapour in high-resolution WRF simulations over a mountainous archipelago: Quarterly Journal of the Royal Meteorological Society, **139**(677), 2119-2133.
- Homleid, M., 1995, Diurnal corrections of short-term surface temperature forecasts using the Kalman filter: Weather Forecast, **10**, 689-707.
- Hou, A. Y., Ledvina, D. V., da Silva, A. M., et al., 2000, Assimilation of SSM/I-derived surface rainfall and total precipitable water for improving the GEOS analysis for climate studies: Monthly Weather Review, 2000, **128**(3), 509-537.
- Gelman, A., Carlin, J.B., Stern, H.S., Dunson, D.B., Vehtari, A. and Rubin, D.B., 2013, *Bayesian data analysis*. Chapman and Hall/CRC
- Jiang, P., Ye, S., Chen, D., Liu, Y., and Xia, P., 2016, Retrieving precipitable water vapor data using GPS zenith delays and global reanalysis data in China: Remote Sensing, **8**(5), 389, doi:10.3390/rs80503892.
- Kalman, R. E., 1960, A new approach to linear filtering and prediction problems: Journal of Basic Engineering, **82**(1), 35-45.
- Kalman, R. E., and Bucy, R. S., 1961, New results in linear filtering and prediction problems, Trans. ASME, Ser. D., **83**, 95-108.
- Khaniani, A. S., Azadi, M., and Zakeri, Z., 2017, Impact of Iranian permanent GPS network precipitable water estimates on numerical weather prediction: Earth Observation and Geomatics Engineering, **1**(2), 100-111.
- Koenig, M., and de Coning, E., 2009, The MSG global instability indices product and its use as a nowcasting tool: Weather Forecasting, **24**, 272-285.
- Kumar, P., Gopalan, K. B., Shukla, P., and Shyam, A., 2017, Impact of single-point GPS integrated water vapor estimates on short-range WRF model forecasts over southern India: Theoretical and Applied Climatology, **130**(3-4), 755-760.
- Liang, H.; Cao, Y.; Wan, X.; Xu, Z.; Wang, H.; Hu, H. Meteorological applications of precipitable water vapor measurements retrieved by the national GNSS network of China. Geod. Geodyn. 2015, **6**, 135–142
- Maghrabi, A. H., Alothman, A. O. A., Fernandes, R. M. S., et al., 2020, Modelling and validation of the precipitable water vapour from zenith wet delay using radiosonde and GNSS data in the Central Arabian Peninsula: International Journal of Environmental Sciences & Natural Resources, **25**(1): IJESNR.MS.ID.556152.
- Marzban, C., 2003, Neural network for post processing model output, ARPS, Mon. Wea. Rev., **131**, 1103-1111.

- Mccollor, D. and Stull, R., 2008, Hydro meteorological accuracy enhancement via post processing of numerical weather forecasts in complex terrain, *Wea. Forecasting*, **23**, 131-144.
- Monache, L. D., Nipen, T., Liu, Y., Roux, G., and Stull, R., 2011, Kalman filter and analog schemes to post-process numerical weather predictions: *Monthly Weather Review*, **139**, 3554-3570.
- Oigawa, M., Tsuda, T., Seko, H., Shoji, Y., and Realini, E., 2018, Data assimilation experiment of precipitable water vapor observed by a hyper-dense GNSS receiver network using a nested NMH-LETKF system: *Earth, Planets and Space*, **70**(1), 74.
- Pan, S., Gao, J., Stensrud, J., Wang, X., and Jones, T. A., 2018, Assimilation of radar radial velocity and reflectivity, satellite cloud water path, and total precipitable water for convective-scale NWP in OSSEs: *Journal of Atmospheric and Oceanic Technology*, **35**(1), 67-89.
- Pérez-Jordán, W., Castro-Almazán, J. A., and Muñoz-Tuñón, C., 2018, Precipitable water vapour forecasting: a tool for optimizing IR observations at Roque de los Muchachos Observatory: *Monthly Notices of the Royal Astronomical Society*, **477**(4), 5477-5485.
- Pérez-Ramírez, D., Smirnov, A., Pinker, R. T., et al., 2019, Precipitable water vapor over oceans from the Maritime Aerosol Network: Evaluation of global models and satellite products under clear sky conditions: *Atmospheric Research*, **215**, 294-304.
- Priestley, M. B., 1981, Spectral analysis and time series, Academic Press, printed in USA
- Rakhecha, P., and Singh, V. P., 2009, Applied Hydrometeorology: Springer Science & Business Media.
- Rao, P. A., and Fuelberg, H. E., 1997, Diagnosing convective instability from GOES-8 radiances: *Journal of Applied Meteorology*, **36**(4), 350-364.
- Rodgers, C. D., 1976, Retrieval of atmospheric temperature and composition from remote measurements of thermal radiation: *Reviews of Geophysics*, **14**(4), 609-624.
- Seto, Y., Yokoyama, H., Nakatani, T., et al., 2018, Relationships among rainfall distribution, surface wind, and precipitable water vapor during heavy rainfall in Central Tokyo in summer: *Journal of the Meteorological Society of Japan. Ser. II*, **96A**, 35-49.
- Shoji Y, Kunii M, Saito K (2009) Assimilation of nationwide and global GPS PWV data for a heavy rain event on 28 July 2008 in Hokuriku and Kinki, Japan. *SOLA* 5:45-4
- Sudradjat, A., Ferraro, R. R., and Fiorino, M., 2005, A comparison of total precipitable water between reanalyses and NVAP. *Journal of Climate*, **18**(11), 1790-1807.
- Vey, S., Dietrich, R., Lke, A., Fritzsche, M., Steigenberger, P., and Rothaher, M., 2010, Validation of precipitable water vapor within the NCEP/DOE reanalysis using global GPS observations from one decade: *Journal of Climate*, **123**, 1675-1695, DOI: 10.1175/2009JCLI2787.1.
- Wang, Y., Yang, K., Pan, Z., et al., 2017, Evaluation of precipitable water vapor from four satellite products and four reanalysis datasets against GPS measurements on the Southern Tibetan Plateau: *Journal of Climate*, **30**(15), 5699-5713.
- Yang, X., Sassa, B. H., Elgered, G., et al., 1999, A comparison of precipitable water vapor estimates by an NWP simulation and GPS observations: *Journal of Applied Meteorology*, **38**(7), 941-956.
- Zeng, X., 1999, The relationship among precipitation, cloud-top temperature, and precipitable water over the tropics: *Journal of Climate*, **112**, 2403-2414.

Post-processing of WRF model for precipitable water using meteorological satellite data

Farahnaz Taghavi ^{1*}and Mojtaba Jalali ²

¹ Associate Professor, Institute of Geophysics, University of Tehran, Tehran, Iran

² Ph.D. student, Institute of Geophysics, University of Tehran, Tehran, Iran

(Received: 19 December 2021, Accepted: 19 April 2022)

Summary

Precipitable water (PW) is an important part of the water cycle in the atmosphere. This variable plays a significant role in hydrological and meteorological studies to understand the behavior of water vapor and the involved processes. One of the management tools in this area is knowledge of the Total Precipitated Water content (TPW) in the atmosphere. This quantity can also be used as a meteorological index for accurate prediction of atmospheric parameters including rainfall and runoff estimates. PW is the amount of vertically integrated water vapor and can be expressed in g/cm², or as the height of an equivalent column of liquid water in centimeters. The traditional technique for PW measurement is to launch radiosondes, normally twice a day. This method is not only expensive but also poor in both spatial coverage and temporal resolution. Temporal changes in atmospheric water vapor occur rapidly and water vapor measurements by radiosondes do not satisfy the needs of research for a variety of variation scales of atmospheric water vapor. In past years, the emerging ground-based Global Positioning System (GPS) has opened the possibility of improved monitoring of atmospheric humidity. Beginning from the 1990s, an observational technique based on the Global Navigation Satellite System (GNSS), which is sensitive to the spatial and temporal distribution of the water vapor content in the atmosphere, has made it possible to retrieve precise and continuous estimates of PW. In recent years, studies have been conducted on the use of satellite data and GPS data to estimate this parameter. The purpose of this research is to evaluate the post-processing of WRF model for PW using meteorological satellite data, neural network and Kalman filter. This parameter cannot be easily calculated without the use of equipment such as GPS, satellite, radiosonde station and radar. In this research, we attempt to eliminate the systematic error of a PW parameter obtained through the WRF numerical model in the absence of measurement data. In the first step, we compare the rainfall water for two stations in Iran including Mashhad and Tehran with the TPW parameter measured by MSG1(IODC) and FY-2E satellites for about two years. Then, the WRF model results are post-processed based on the observational data to educate the neural network model using the ANFIS implementation with genetic algorithm training. In second step, the Kalman filter was applied to the satellite data modified by genetic algorithm. The results were improved and the correlation coefficient was to 0.987 and the RMSE error reduced to 1.1. Results show that by implementing this approach and converging on the correlation values of the selected satellite and the post-processed model to the correlation values of the modified model, the results showed that the meteorological satellite data METEOSAT8 (IODC) can be used as an alternative of radiosonde data in places without high atmosphere station to teach the proposed model for post-processing of PWV parameter in WRF numerical model.

Keywords: Precipitable water, METEOSAT8, WRF model, post-processing

*Corresponding author:

ftaghavi@ut.ac.ir